

## انتخاب مناسبترین ویژگی مورفولوژیک به منظور تشخیص علف‌های هرز مزارع گندم با استفاده از تکنیک پردازش تصویر

الهام الهی فرد<sup>۱\*</sup>، سامان آبدانان مهدی‌زاده<sup>۲</sup>، محمد امینی‌راد<sup>۳</sup> و سپیده ساجدی<sup>۳</sup>

۱- عضو هیأت علمی گروه مهندسی تولید و ژنتیک گیاهی، دانشکده کشاورزی، دانشگاه علوم کشاورزی و منابع طبیعی خوزستان-۲- عضو هیأت علمی گروه مهندسی ماشین‌های کشاورزی و مکانیزاسیون، دانشکده مهندسی زراعی و عمران روساتایی، دانشگاه علوم کشاورزی و منابع طبیعی خوزستان-۳- موسسه تحقیقات گیاه‌پزشکی کشور، سازمان تحقیقات، آموزش و ترویج کشاورزی، تهران، ایران

(تاریخ دریافت: ۹۵/۱۲/۲۵- تاریخ پذیرش: ۹۶/۸/۶)

### چکیده

به منظور انتخاب مناسبترین ویژگی مورفولوژیک علف‌های هرز مزارع گندم استان خوزستان، شانزده گونه از رایج‌ترین علف‌های هرز پهنه‌برگ انتخاب شدند. گونه‌های جمع آوری شده شامل وايه، آنالگاليس، چندرو وحشی، گلرنگ وحشی، سلمه برگ گزنه‌ای، پیچک صحرایی، کاهو وحشی، پنیرک، ساق ترشک، دم عقربی، کنگر برگ بلق، خردل وحشی، شیر نیغی، گندمک، سیزاب و ماشک بودند. برای هر گونه، از پنج نمونه (به منزله پنج تکرار) عکس‌برداری شد و تصاویر با استفاده از روش پردازش تصویر، مورد بررسی قرار گرفتند. همچنین از بوته‌های گندم نیز به عنوان شاهد تصاویر از پس زمینه و برچسب‌گذاری آن‌ها، هفت ویژگی مورفولوژیکی شامل مساحت سطح، محیط، نسبت ابعاد (نسبت طول به قطر)، نسبت مستطیلی، ضریب شاعع ناحیه محدب هال، ضریب شاعع محیطی محدب هال، ضریب کرویت، ضریب تشکیل شکل و گریز از مرکز بودن از هر کدام از گونه‌های علف‌های هرز و گندم استخراج شد. نتایج نشان داد که نسبت ابعاد و کرویت، بهترین ویژگی‌های مورفولوژیکی به منظور تمایز علف‌های هرز پهنه‌برگ از گندم بودند به طوری که گندم از نظر ویژگی نسبت ابعاد (۱۹/۷۹)، بیشترین مقدار را به خود اختصاص داد؛ پس از آن، دو گونه دم عقربی و گلرنگ وحشی، با دارا بودن مقادیری معادل ۹/۷۱ و ۵/۹۰ نسبت به سایر گونه‌های هرز، بیشترین مقدار نسبت ابعاد را به خود اختصاص دادند. کمترین کرویت (۰/۰۵) متعلق به گندم بود که با توجه به کشیده بودن برگ‌های گندم و اختلاف معنی دار شکل برگ آن با گونه‌های پهنه‌برگ، این ویژگی به منظور شناسایی و تفکیک گندم از گونه‌های هرز پهنه‌برگ موجود در مزرعه می‌تواند بسیار کاربردی باشد.

واژه‌های کلیدی: پردازش تصویر، تشخیص گونه، کرویت، نسبت ابعاد.

## Select the most appropriate morphologic characteristic to distinguish weeds in wheat fields by image processing technique

Elham Elahifard<sup>1</sup>, Saman Abdanan Mehdizadeh<sup>2</sup>, Mohammad Amini Rad<sup>3</sup> and Sepideh Sajedi<sup>3</sup>

1- Scientific board member of Plant Production and Genetic Engineering Department, Faculty of Agriculture, Khuzestan Agricultural Sciences and Natural Resources University, 2- Scientific board member of Farm Machinery and Mechanization Department, Faculty of Agriculture Engineering and Rural Development, Khuzestan Agricultural Sciences and Natural Resources University, 3- Iranian Research Institute of Plant Protection, Agricultural Research, Education and Extension Organization (AREEO), Tehran, Iran

(Received: June. 3, 2016 - Accepted: Dec. 28, 2017)

### ABSTRACT

In order to select the most appropriate morphological characteristics of weeds in wheat fields in Khuzestan province, 16 species of the most common broadleaf weeds were selected. Collected species included: *Ammi majus* L., *Anagallis* spp., *Beta vulgaris* subsp. *maritima* (L.), *Carthamus tinctorius* L., *Chenopodium murale* L., *Convolvulus arvensis* L., *Lactuca serriola* L., *Malva* spp., *Rumex dentatus* L., *Scorpiurus muricatus* L., *Silybum marianum* L., *Sinapis arvensis* L., *Sonchus tenerrimus* L., *Stellaria media* L., *Veronica persica* Poir., and *Vicia villosa* Roth. For any species, five samples (as five replications) were photographed and images were analysed using image processing. Wheat, also, was photographed as control. After isolating images from background and tagging them, seven morphological characteristics including area, perimeter, aspect ratio (length to diameter ratio), rectangularity, area ratio of convex hull, perimeter ratio of convex hull, sphericity, form factor and eccentricity of each weed species and wheat were extracted. Results showed that the best morphological characteristics to distinguish broadleaf weeds from wheat were aspect ratio and sphericity. So that, compared to the weed species, aspect ratio was greatest (19.79) in wheat. After that, caterpillar-plant (9.71) and safflower (5.90) were greatest. The sphericity of wheat was the lowest (0.05). Considering the narrow shape of wheat leaves and the significant difference in leaf shape with broad-leaved species, this characteristic can be very useful for identifying and distinguishing wheat from broadleaf species at the field.

**Key words:** Aspect ratio, image processing, species distinguish, sphericity.

\* Corresponding author E-mail: e.elahifard@ramin.ac.ir

## مقدمه

(تشخیص بیماری)، آنژیوگرافی، باستان شناسی، کشاورزی و غیره. در هر یک از این زمینه‌ها می‌توان کارهایی از نوع راهنمایی، پردازش، دسته‌بندی، مشاوره، طراحی، تشخیص، کاوش، پیش‌بینی، ایجاد مفاهیم، شناسایی، توجیه، یادگیری، مدیریت، واپایش، برنامه‌ریزی، زمانبندی و آزمایش را با استفاده از سامانه‌های تجربی، با سرعت و سهولت بیشتری به انجام رسانید (Rao *et al.*, 2005). موارد استفاده از این سامانه در کشاورزی عبارتند از سامانه خبره تشخیص بیماری‌های گوجه‌فرنگی (Yialouris & Sideridis, 1996)؛ توسعه سیستم خبره به منظور طبقه‌بندی تخم مرغ بر اساس کیفیت درونی (Abdanan Mehdizadeh, 2014)، سیستم خبره برای شناسایی آفات، بیماری‌ها و علوفه‌های هرز در محصول زیتون (Gonzalez-Andujar, 2009) و سیستم خبره تشخیص آفات زنبور عسل (Mahaman *et al.*, 2002).

بنابراین، هدف از این پژوهش، توسعه یک سیستم خبره مبتنی بر تصاویر اخذ شده از برگ گونه‌های مختلف علوفه هرز، به منظور شناسایی گونه علوفه‌های هرز و توصیه راهکارهای پیشگیرانه در نظر گرفته شد.

## مواد و روش‌ها

### جمع آوری گونه‌های گیاهی مورد مطالعه

شناسایی و جمع آوری گیاهچه علوفه‌های هرز پهن برگ (در مرحله چهار تا شش برگی) در پاییز و زمستان سال زراعی ۹۵-۱۳۹۴ در سطح مزارع گندم دانشگاه کشاورزی و منابع طبیعی رامین خوزستان انجام شد. گونه‌های جمع آوری شده شامل وايه (*Ammi majus* L.), آنگالايس (*Anagallis spp.*)، *Beta vulgaris* subsp. *maritima* (L.) چغندر وحشی (Carthamus tinctorius L.), گلنگ وحشی (Arcang. Chenopodium murale L.), پیچک صحرایی (*Convolvulus arvensis* L.), کاهوی وحشی (*Malva spp.*)، ساق ترشک (*Scorpiurus muricatus* L.)، دم عقری (*Rumex dentatus* L.)

داشتن اطلاعات دقیق از بیولوژی و اکولوژی علوفه‌های هرز می‌تواند به موفقیت کشاورزان در کنترل علوفه‌های هرز کمک کند و مبنای اصولی برای تمام سیستم‌های مدیریت علوفه‌های هرز باشد (Chauhan & Johnson, 2010). در سال‌های گذشته، به دلیل عدم تطبیق کاربرد علوفه‌ها با اکوبیولوژی علوفه‌های هرز، نه تنها موفقیت‌های چشمگیر و پایداری به دست نیامده است بلکه ما را با مشکلات بزرگتری همچون مقاومت علوفه‌های هرز به علوفه‌ها نیز مواجه نموده است (Bena Kashani *et al.*, 2006; Zand *et al.*, 2008; Rastgoo *et al.*, 2009; Gherekhloo *et al.*, 2011; Dastoori *et al.*, 2010; Derakhshan & Gherekhloo, 2012; Elahifard *et al.*, 2013). این در حالی است که با استفاده صحیح از علوفه‌ها بر اساس بیولوژی و اکولوژی علوفه‌های هرز و گیاهان زراعی، می‌توان در راستای استفاده بهینه از سموم گام برداشت.

پردازش تصویر به عنوان یک سامانه خبره، با در برگرفتن یکسری قواعد سر انگشتی از متخصصین و به تعبیری با تبدیل فرایند استدلال و تصمیم گیری متخصصین به برنامه‌های رایانه‌ای می‌تواند به عنوان ابزار راهنمای تصمیم‌گیری در اختیار غیرمتخصصین و حتی متخصصین کم تجربه قرار گیرد (Stone *et al.*, 1986). چنین سامانه‌هایی در واقع، نمونه‌های آغازین و ساده‌تری از فناوری پیشرفته‌تر سامانه‌های دانش بنیان به شمار می‌آیند این امانه‌ها، معمولاً اطلاعات را به شکل واقعیت‌ها و قواعد در دادگانی به نام پایگاه دانش به شکل ساختارمند ذخیره می‌نمایند و سپس با بهره‌گیری از روش‌های خاص استنتاج از این داده‌ها، نتایج مورد نیاز حاصل می‌شود (Liao, 2005).

سامانه‌های خبره در زمینه‌های بسیار متنوعی کاربرد یافته‌اند که برخی از این زمینه‌ها عبارتند از پزشکی، حسابداری، کنترل فرایندها، منابع انسانی، خدمات مالی، سیستم اطلاعات جغرافیایی (GIS)، تجزیه و تحلیل‌های مالی پزشکی

(۷-۱) روابط از تصاویر استخراج شد (Du et al., 2007)

۱. نسبت ابعاد (نسبت طول به قطر):<sup>۲</sup>

$$AR = \frac{D_{\text{Max}}}{D_{\text{Min}}} \quad (1)$$

که در این رابطه AR نسبت ابعاد،  $D_{\text{Max}}$  قطر ماکریم گونه و  $D_{\text{Min}}$  قطر مینیم گونه می‌باشد.

۲. نسبت مستطیلی:<sup>۳</sup>

$$R = \frac{A_{\text{ROI}}}{D_{\text{Max}} \times D_{\text{Min}}} \quad (2)$$

که در این رابطه R نسبت مستطیلی و  $A_{\text{ROI}}$  مساحت گونه می‌باشد.

۳. ضریب شعاع ناحیه محدب هال:<sup>۴</sup>

$$C_A = \frac{A_{\text{ROI}}}{A_C} \quad (3)$$

که در این رابطه  $C_A$  ضریب شعاع ناحیه محدب هال و  $A_{\text{ROI}}$  مساحت ناحیه محدب هال می‌باشد. این ویژگی کوچکترین ناحیه محدب در برگیرنده علف‌هرز می‌باشد.

۴. ضریب شعاع محیطی محدب هال:<sup>۵</sup>

$$C_P = \frac{P_{\text{ROI}}}{P_C} \quad (4)$$

که در این رابطه  $C_P$  ضریب شعاع محیطی محدب هال،  $P_C$  محیط گونه و  $P_{\text{ROI}}$  محیط ناحیه محدب هال می‌باشد.

۵. ضریب کرویت:

کنگر برگ ابلق (Silybum marianum L.), خردل وحشی (Sonchus tenerrimus L.), شیر تیغی (Sinapis arvensis L.) Veronica persica (Stellaria media L.) گندمک (Stellaria media L.)، سیزاب (Vicia villosa Roth.) پودند. و ماشک گل خوشهای (Poir.)

از هر گونه پنج نمونه (گیاهچه‌های علف‌هرز و گندم، به عنوان شاهد) انتخاب شدند و عکس‌برداری از برگ‌های آن‌ها انجام شد. سپس عکس‌ها و اطلاعات مربوط به آن‌ها به صورت مجموعه‌ای به منظور تجزیه و تحلیل به نرم افزار متلب<sup>۶</sup> ۲۰۱۶ منتقل شدند. همچنین داده‌های محاسبه شده توسط نرم افزار SAS 9.2 و در قالب طرح کاملاً تصادفی تجزیه و تحلیل شدند.

### اخذ تصاویر و کالیبراسیون

تصاویر مورد استفاده در این پژوهش با دوربین دیجیتال (Canon PowerShot SX60 HS, Japan) که به صورت عمودی در فاصله ۲۰ سانتی‌متر از نمونه‌ها قرار داشت اخذ گردیدند. به منظور تأمین نور در سیستم، از چهار لامپ با نور طبیعی روز با توان ۵۰ W استفاده شد. زاویه بین محور لنز و منابع نور در حدود ۴۵ درجه و فلاش دوربین در حالت خاموش قرار داده شد (Soltanikazemi et al., 2016). پس از چک کردن وضوح تصاویر اخذ شده (۱۷۰۷×۱۲۸۰ پیکسل)، تصاویر به منظور استخراج پارامترهای مورفولوژیکی رنگی به رایانه منتقل شدند. با توجه به لزوم یکسان بودن شرایط نوری برای ایجاد تصویر، عکس‌هایی با شرایط نوری مناسب از نمونه‌ها گرفته شد.

### استخراج ویژگی‌ها از تصاویر

تصاویر اخذ شده از برگ گونه‌های گیاهی، با روش آستانه‌گذاری استو، به صورت باینری درآمدند (Abdolahzare & Abdanan Mehdizadeh, 2018) و پس از حذف پس زمینه گیاهان در تصویر، برچسب‌گذاری شدند و پارامترهای ظاهری-بعادی گونه‌ها، به اضافه مساحت و محیط

<sup>2</sup> Aspect ratio

<sup>3</sup> Rectangularity

<sup>4</sup> Area ratio of convex hull

<sup>5</sup> Perimeter ratio of convex hull

<sup>6</sup> Matlab

همانطور که در شکل ۲ نشان داده شده است، اختلاف میانگین مساحت سطح برگ گونه‌های مورد بررسی، به استثنای پیچک صحرایی (۱۳۲۷۰)، با گندم (۱۱۳۵۱۶) معنی دار بود ( $P \leq 0.05$ ). در میان گونه‌های علف‌هرز، ماشک گل خوشهای، سلمه برگ گزنهای، آنگالیس، گندمک، سیزاب و وايه، از نظر مساحت سطح برگ با يكديگر اختلاف معنی دار نداشتند در حالیکه سایر گونه‌ها با يكديگر و همچنين با گندم اختلاف معنی دار نشان دادند ( $P \leq 0.05$ ).

به طوری که کنگر برگ ابلق و وايه، با دارا بودن مساحت سطح به ترتیب ۳۷۵۴۴۴ و ۱۸۰۷۵، بیشترین و کمترین اختلاف را با سایر علف‌های هرز و گندم نشان دادند. در خصوص ويژگي محیط، شیر تیغی با دارا بودن محیط برگی معادل ۶۳۲۴/۲، بیشترین اختلاف معنی دار را با سایر گونه‌های هرز و گندم داشت و کمترین مقدار محیط، متعلق به وايه (۶۲۲/۸) بود (شکل ۲). گندم از نظر ويژگي نسبت ابعاد (۱۹/۷۹)، بیشترین مقدار را به خود اختصاص داد و اختلاف معنی داری با سایر علف‌های هرز نشان داد. پس از آن، دو گونه دم عقربي و گلنگ وحشی با دارا بودن مقاديری معادل ۹/۷۱ و ۵/۹۰، بیشترین مقدار نسبت ابعاد را نسبت به سایر گونه‌های هرز به خود اختصاص دادند. در مورد ويژگي نسبت مستطيلي، وايه بیشترین مقدار (۰/۷۸) را به خود اختصاص داد در حالی که با آنگالیس، سلمه برگ گزنهای، گندمک، گندم و سیزاب اختلاف معنی دار نداشتند (شکل ۲).

بیشترین مقدار ضریب شعاع ناحیه محدب هال به ترتیب متعلق به آنگالیس (۰/۹۷)، وايه (۰/۹۴) و گندم (۰/۹۳) و کمترین مقدار متعلق به ماشک گل خوشهای (۰/۴۰) و سونخوس (۰/۳۹) بود (شکل ۳). در مورد ضریب شعاع محیطی محدب هال، ماشک گل خوشهای با دارا بودن ۲/۸۹، با سایر گونه‌های مورد آزمایش، اختلاف معنی دار داشت ( $P \leq 0.05$ ). همچنین گندمک، چندر وحشی، کاهو وحشی و دم عقربي، دارای کمترین مقادير در محدوده ۱/۰۰-۱/۰۷ بودند و در يك گروه آماري قرار گرفتند ( $P \leq 0.05$ ).

$$S = \frac{r_i}{r_c} \quad (5)$$

که در اين رابطه  $S$  ضریب کرویت،  $r_i^1$  شعاع دایره محاطی داخلی و  $r_c^1$  شعاع دایره محیط شده خارجی می باشد.

#### ۶. ضریب تشکیل شکل:

$$F = \frac{4\pi A_{ROI}}{P_{ROI}^2} \quad (6)$$

۷. گریز از مرکز بودن:

$$E = \frac{E_A}{E_B} \quad (7)$$

که در اين رابطه  $E$  گریز از مرکز بودن،  $E_A$  میزان انحراف از محور اصلی و  $E_B$  کوچک‌ترین میزان انحراف از محور می باشد. اين ويژگي نشان‌دهنده غير یکنواختی شکل علف‌هرز می باشد.

داده‌های استخراج شده از تصاویر توسط نرم افزار SAS 9.2 و در قالب طرح کاملاً تصادفی تجزیه و تحلیل شد و در نهايیت بهترین ويژگی‌های مورفو‌لوزیکی به منظور تمایز علف‌های هرز و گندم انتخاب شدند.

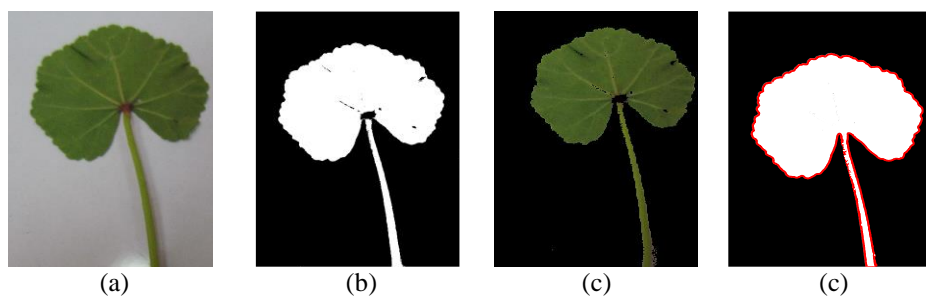
#### نتایج و بحث

شکل ۱، روند پردازش تصویر و جداسازی علف‌هرز از پس زمینه را نشان می دهد. پس از باينری نمودن تصویر (شکل ۱-ب) و جدا شدن علف‌هرز از پس زمینه (شکل ۱-ج) ويژگی‌های مورفو‌لوزیکی از تصاویر استخراج شدند. به عنوان مثال، مرز علف‌هرز (ناحیه قرمز در اطراف گیاه)، به عنوان محیط علف‌هرز در شکل ۱-د نشان داده شده است.

<sup>1</sup> Sphericity

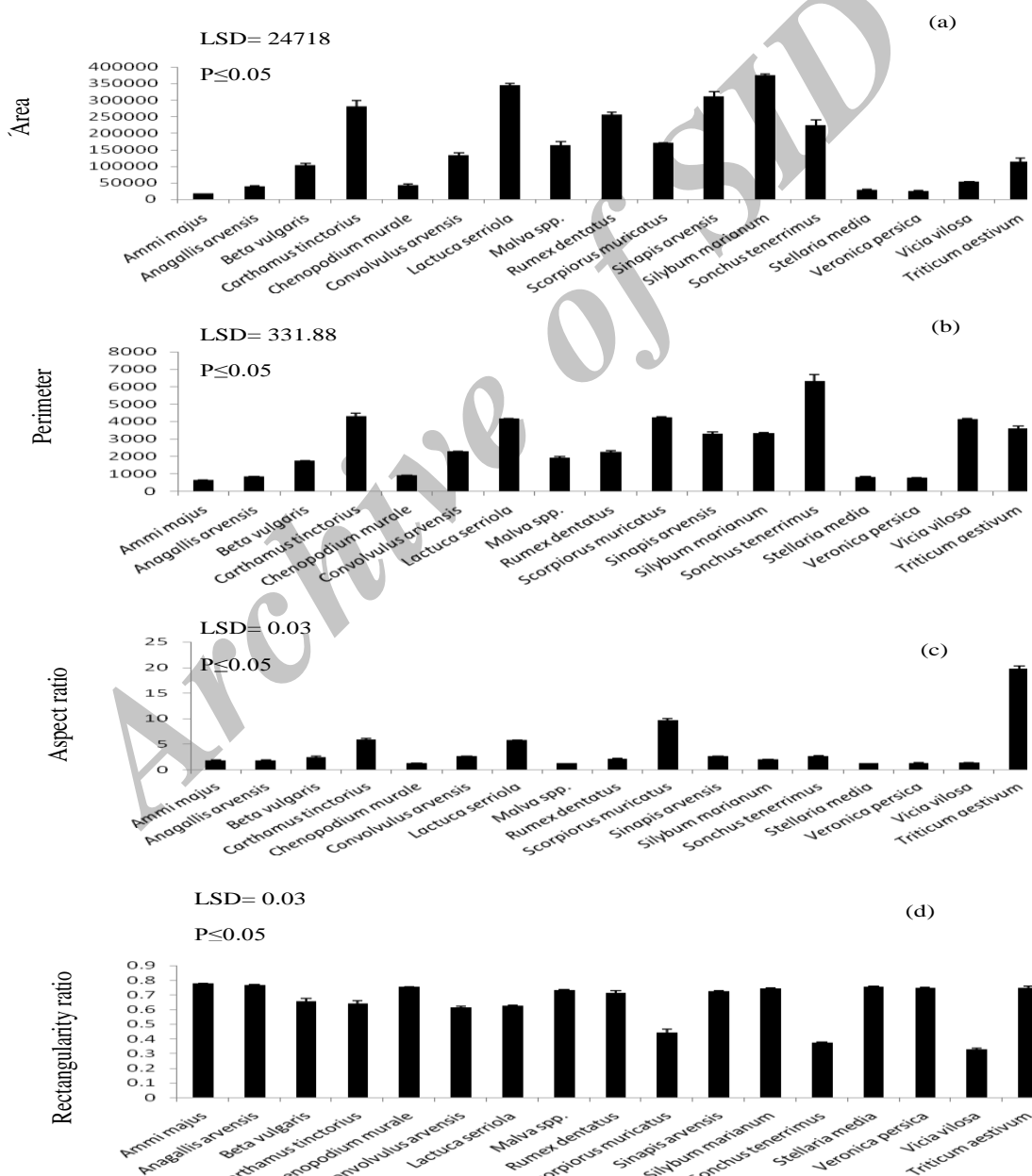
<sup>2</sup> Form factor

<sup>3</sup> Eccentricity



شکل ۱- فرآیند پردازش تصویر؛ تصویر اصلی (الف)، تصویر باینری (ب)، تصویر برگ جدا شده (ج) و مرز علفهرز (د)

Figure 1. The process of image processing; main image (a), binary image (b), isolated leaf image (c) and weed border (d)

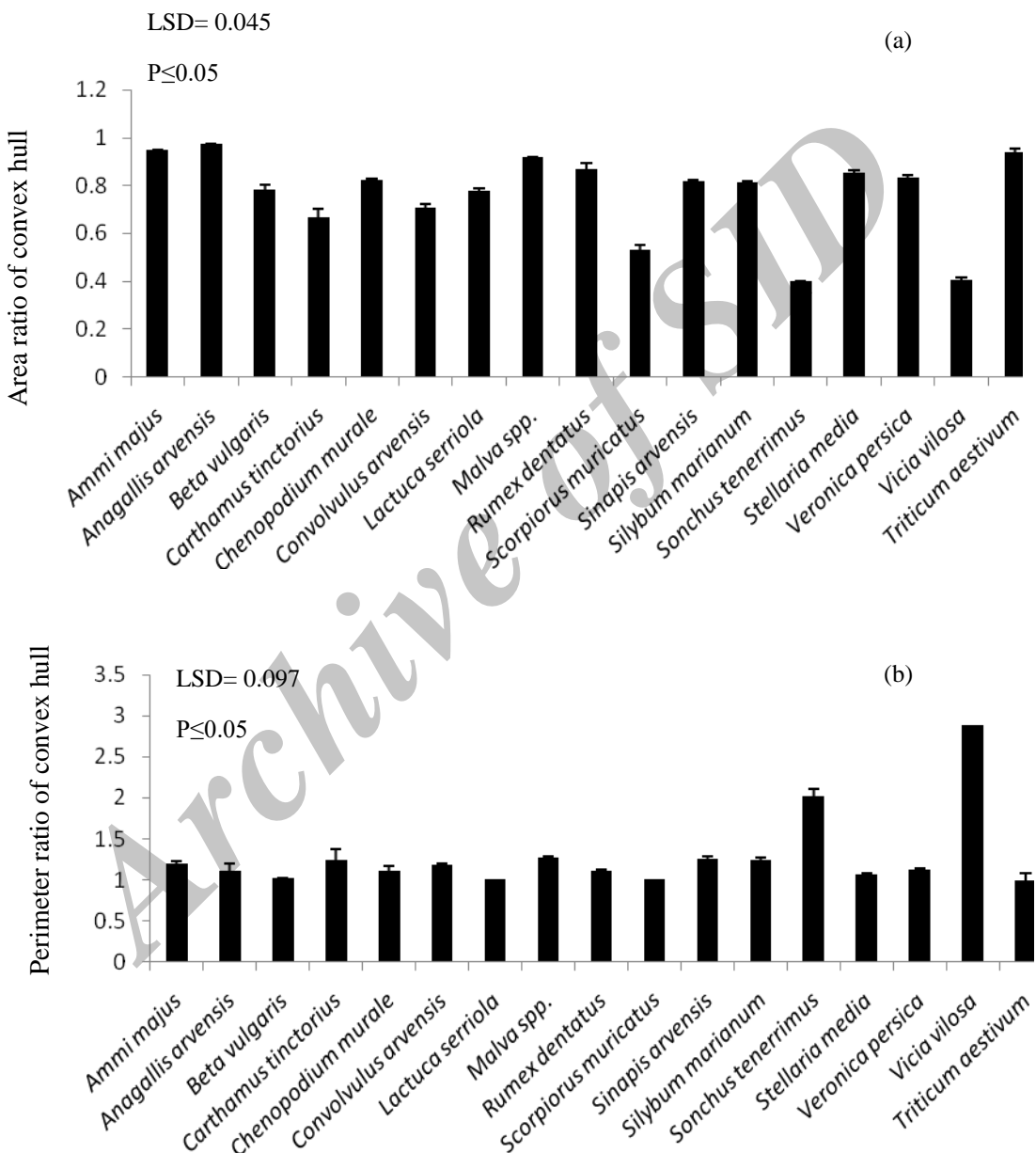


شکل ۲- مساحت سطح (الف)، محیط (ب)، نسبت ابعاد (ج) و نسبت مستطیلی برگ (د) محاسبه شده برای گونه‌های علفهرز و گندم

Figure 2. Area (a), perimeter (b), aspect ratio (c) and rectangularity ratio of leaf (d) calculated for weed species and wheat

کرویت برای تشخیص ترشک برگ شبدری، میانگین شعاع رعنایی<sup>۱</sup> برای تشخیص بارهنگ کاردی و میانگین مساحت سطح برای جداسازی آروسپرم از دیگر علف‌های هرز کاربردی بودند (Orak Chahartangi et al., 2016).

در آزمایشی، میانگین ضریب شعاع محیطی محدب هال و میانگین ضریب کرویت برای تشخیص مندابی، ویژگی‌های میانگین مساحت سطح، میانگین محیط، میانگین ضریب شعاع ناحیه محدب هال برای تشخیص کاهوی وحشی، ضریب



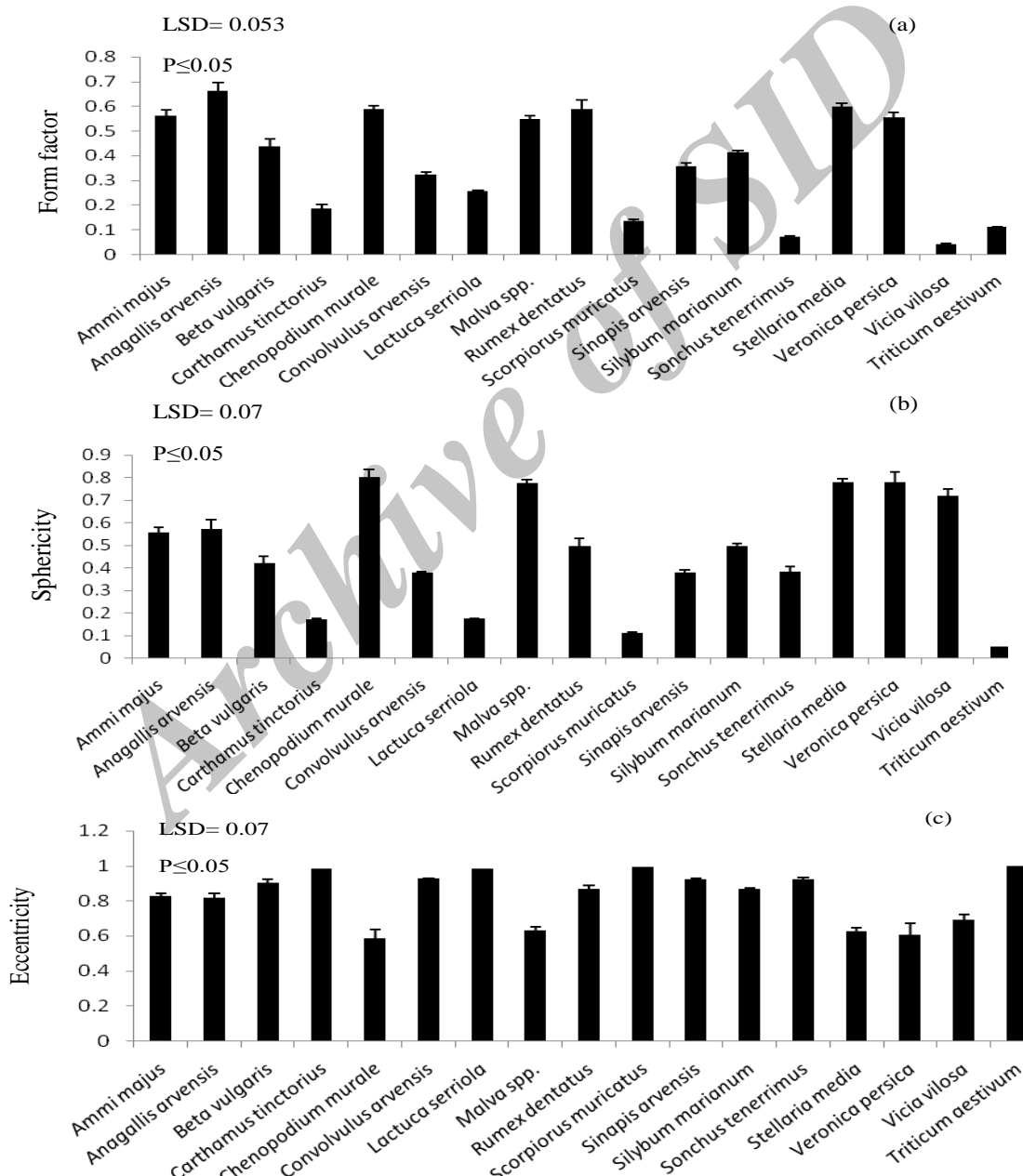
شکل ۳- ضریب شعاع ناحیه محدب هال (الف) و ضریب شعاع محیطی محدب هال (ب) محاسبه شده برای گونه‌های علف هرز و گندم

Figure 3. Area ratio of convex hull (a) and perimeter ratio of convex hull (b) calculated for weed species and wheat

<sup>۱</sup> شعاع رعنایی برابر است با نسبت محیط موثر برگ به حداقل شعاع دایره محاط کننده.

نسبت به سایر گونه‌ها داشتند که با توجه به موفولوژی برگ‌های این گونه‌ها، چنین نتیجه‌ای قابل انتظار بود. کمترین کرویت ( $0/05$ ) به گندم تعلق داشت که با توجه به کشیده بودن برگ‌های گندم و اختلاف معنی دار شکل برگ آن با گونه‌های پهن برگ، این ویژگی به منظور شناسایی و تفکیک گندم از گونه‌های هرز پهن برگ موجود در مزرعه می‌تواند بسیار کاربردی باشد.

آنالیس و مشک گل خوش‌های با دارا بودن  $0/66$  و  $0/04$ ، به ترتیب بیشترین و کمترین مقدار ضریب تشکیل شکل را به خود اختصاص دادند. پس از آنالیس، گندمک، ساق ترشک، سلمه برگ گزنهای، وايه، سیزاب و پنیرک نسبت به سایر گونه‌ها، بیشترین مقدار ضریب تشکیل شکل را داشتند (شکل ۴). در مورد ویژگی کرویت، گونه‌های سلمه برگ گزنهای ( $0/80$ )، سیزاب ( $0/78$ )، گندمک ( $0/78$ ) و پنیرک ( $0/77$ )، بیشترین کرویت را



شکل ۴- ضریب تشکیل شکل (الف)، کرویت (ب) و گریز از مرکز بودن (ج) محاسبه شده برای گونه‌های علف‌هرز و گندم

Figure 4- Form factor (a), sphericity (b) and eccentricity (c) calculated for weed species and wheat

به حداقل رساندن ضایعات علف‌کش‌های مورد نیاز برای کنترل موثر علف‌های هرز (Burgos-Artizzu *et al.*, 2011) و بهبود محیط زیست اشاره نمود (Han *et al.*, 2004). هدف نهایی از مهار علف‌های هرز، کاهش تراکم علف‌های هرز است و گام مهم و ضروری در کشاورزی دقیق این است که سم تنها بر روی علف‌هرز ریخته شود (Tellaeché *et al.*, 2011).

### نتیجه‌گیری

با توجه به نتایج پژوهش می‌توان بیان کرد که ویژگی‌های مورفو‌لوزیکی کاربردی به منظور تفکیک علف‌های هرز از گندم، شامل کرویت و گریز از مرکز بودن و همچنین به منظور تفکیک گونه‌های هرز از یکدیگر، ویژگی‌های مساحت سطح، محیط و نسبت مستوپلی بودند.

### سپاسگزاری

نتایج ارائه شده در مقاله از طرح پژوهشی مصوب به شماره ۹۴/۰۴ بدست آمده است. بدین وسیله از معاونت پژوهشی و فناوری دانشگاه علوم کشاورزی و منابع طبیعی خوزستان، با بت تأمین اعتبار هزینه طرح، تقدیر و تشکر می‌شود.

بطور معکوس، گندم با دارا بودن مقدار ۰/۹۹٪، بیشترین میزان ویژگی گریز از مرکز بودن، را به خود اختصاص داد درحالیکه علف‌های هرز دارای برگ‌های پهن شامل پنیرک، گندمک، سیزاب و سلمه برگ گزنه‌های، در مورد این ویژگی دارای کمترین مقادیر بودند.

مهار علف‌های هرز اهمیت بسیار زیادی در کشاورزی دقیق دارد که البته مشکلات بسیاری نیز در این راه وجود دارد. از جمله این مشکلات می‌توان به تشخیص نوع علف‌هرز، زمان تشخیص، نوع و میزان پاشش سم اشاره کرد. روش‌های مختلفی برای حل این مشکل اساسی مطرح شده است. یکی از این روش‌ها استفاده از بینایی ماشین و طراحی یک سامانه هوشمند است که در بازه زمانی مشخص، علف‌هرز را شناسایی، نوع سم مربوط به آن را انتخاب و متناسب با علف‌هرز، میزان پاشش را انجام دهد. پژوهش‌های متعددی در زمینه کشاورزی دقیق در حوزه کاشت و برداشت محصولات، میزان مصرف کودهای شیمیایی و وجین کردن علف‌های هرز انجام شده است (Perez *et al.*, 2000; Montalvo *et al.*, 2013). از مزایای استفاده از روش‌های هوشمند در کشاورزی می‌توان به کاهش خستگی راننده، بهبود عملکرد محصولات (Gan-Mor & Clark, 2001)، کاهش هزینه‌های تولید،

### منابع

- Abdanan Mehdizadeh, S., Minaei, S., Mohajerani, E., Karimi Torshizi, M. A. 2014. Non-destructive assessment of egg freshness using UV-IR spectroscopy and determination of the effective wavelength domain. *Iran. J. Biosys. Engng.* 44: 101-112. (In Persian with English Summary).
- Beckie, H.J., Heap, I.M., Smeda, R.J. and Hall, L.M. 2000. Screening for herbicide resistance in Weeds. *Weed Technol.* 14: 428-445.
- Bena Kashani, F., Zand, E. and Mohammad Alizadeh, H. 2006. Resistance of wild oat (*Avena ludoviciana*) biotypes to clodinafop-propargyl herbicide. *Entomol. Phytopath.* 74: 127-149. (In Persian with English Summary).
- Burgos-Artizzu, X.P., Ribeiro, A., Guijarro, M. and Pajares, G., 2011. Real-time image processing for crop-weed discrimination in maize fields. *Comput. Electr. Agri.* 75: 337-346.
- Chauhan, B.S., and Johnson, D.E. 2010. The role of seed ecology in improving weed management strategies in the tropics. *Adv Agron.* 105: 221-262.
- Dastoori, M., Rahimian, H., Zand, E., Mohammad Alizadeh, H., Maasoumi, M. and Bahrami, S. 2010. Molecular basis for resistance of *Lolium rigidum* populations to aryloxyphenoxy propionate herbicide through dCAPs. *Iran. J. Field Crop Sci.* 41: 677-684. (In Persian with English Summary).
- Derakhshan, A. and Gherekhloo, J. 2012. Tribenuron-methyl resistant turnipweed (*Rapistrum rugosum*) from Iran. Proceedings of the 6th International

- Weed Science Congress, 17-22 June, Hangzhou, China.
- Du, J. X., Wang, X. F. and zhang, G. J. 2007. Leaf shape based plant species recognition. *Appl Math Comput.* 185: 883-893.
- Elahifard, E., Ghanbari, A., Rashed Mohassel, M.H., Zand, E., Mirshamsi Kakhki, A. and Mohkami, A. 2013. Characterization of triazine resistant biotypes of junglerice (*Echinochloa colona* (L.) Link.) found in Iran. *Aust. J. Crop Sci.* 7: 1302-1308.
- Gan-Mor, S., Clark, R.L., 2001. DGPS-based automatic guidance-implementation and economical analysis. *Trans. ASAE* 01: 11-92.
- Gherekhloo, J., Rashed Mohassel, M.H., Nasirri Mahallati, M., Zand, E., Ghanbari, A., Osuna, M.D. and De Prado, R. 2011. Confirmed resistance to aryloxyphenoxypropionate herbicides in *Phalaris minor* populations in Iran. *Weed Biol Manage.* 11: 29-37.
- Gonzalez-Andujar, J.L. 2009. Expert system for pests, diseases and weeds identification in olive crops. *Expert Syst. Appl.* 36: 3278-3283.
- Han, S., Zhang, Q., Ni, B. and Reid, J.F. 2004. A guidance directrix approach to visionbased vehicle guidance systems. *Comput. Electr. Agri.* 43: 179-195.
- Liao, S.H. 2005. Expert system methodologies and applications- A decade review from 1995 to 2004. *Expert Syst. Appl.* 28: 93-103.
- Liebman, M., Mohler, C.L. and Staver, C.P. 2004. Ecological management of agricultural weeds. Ebook. Cambridge University Press. 532 Pp.
- Mahaman, B.D., Harizanis, P., Filis, I., Antonopoulou, E., Yialouris, C.P. and Sideridis, A.B. 2002. A diagnostic expert system for honeybee pests. *Comput. Electr. Agri.* 36: 17-31.
- Montalvo, M., Guerrero, J.M., Romeo, J., Emmi, L., Guijarro, M. and Pajares, G. 2013. Automatic expert system for weeds-crops identification in images from maize fields. *Expert Syst. Appl.* 40: 75-82.
- Orak Chahartangi, H., Elahifard, E. and Abdanan Mehdizadeh, S. 2016 Morphological characteristics in order to identify the most appropriate choice eleven common weed species in Khuzestan province by using image processing technique. Proceeding of the 2nd National Conference on Agricultural Mechanization and New Technologies, 11-12 May, Mollasani, Ahvaz, Iran. (In Persian with English Summary).
- Perez, A.J., Lopez, F., Benlloch, J.V. and Christensen, S. 2000. Colour and shape analysis techniques for weed detection in cereal fields. *Comput. Electr. Agri.* 25: 197-212.
- Rastgoo, M., Rashed Mohassel, M.H., Zand, E. and Nassiri Mahallati, M. 2009. Seed bioassay to detect wild oat (*Avena ludoviciana* Dur.) resistant to clodinafop propargyl in Khuzestan wheat fields. *Iran. J. Field Crops Res.* 7: 421-430. (In Persian with English Summary).
- Rao, A.N., Johnson, D.E., Sivaprasad, B., Ladha, J.K., and Mortimer, A.M. 2007. Weed management in direct-seeded rice. *Adv Agron.* 93:153-255.
- SoltaniKazemi, M., Abdanan Mehdizadeh, S. and Gharineh, M.H. 2017. Dynamic force effects on germination characteristics and weight vigoure index of three chickpea cultivars (*Cicer arietinum* L.) seed by using image processing. *Iranian J Seed Sci & Tech.* 6: 177-192.
- Stone, N.D., Coulson, R.N., Frisbie, R.E. and Loh, D.K. 1986. Expert systems in entomology: three approaches to problem solving. *B. ESA.* 32: 161-166.
- Tellaeché, A., Pajares, G., Burgos-Artizzu, X.P. and Ribeiro, A. 2011. A computer vision approach for weeds identification through Support Vector Machines. *Applied Soft Computing.* 11: 908-915.
- Yialouris, C.P. and Sideridis, A.B. 1996. An expert system for tomato diseases. *Comput. Electr. Agri.* 14: 61-76.
- Zand, E., Baghestani, M.A., Dastaran, F., Atri, A.R., Labbafi, M.R., Khayami, M.M. and Porbaig, M. 2008. Investigation efficacy of some germinicides in control of resistant and susceptible ryegrass biotypes (*Lolium rigidum* L.) to acetyl coA carboxylase inhibiting herbicides. *Plant Protec.* 22: 129-145. (In Persian with English Summary).
- Zimdahl, R.L. 2007. *Fundamentals of Weed Science.* 3<sup>rd</sup> edn. Academic Press, Elsevier Inc. 666 Pp